

*Письма в ЖЭТФ, том 15, вып. 7, стр. 365 – 367*                    5 апреля 1972 г.

## ТЕМПЕРАТУРА ПЕРЕХОДА В СВЕРХПРОВОДЯЩЕЕ СОСТОЯНИЕ И СТРУКТУРА ПЛЕНОЧНЫХ ОБРАЗЦОВ МОЛИБДЕНА, ЛЕГИРОВАННОГО УГЛЕРОДОМ

*В. М. Голянов, А. П. Демидов, М. Н. Михеева,  
А. А. Теплов*

При конденсации Mo на подложку, охлаждаемую жидким гелием [1], наблюдается значительное повышение температуры сверхпроводящего перехода ( $T_K = 4 + 6,7^\circ\text{K}$  по сравнению с  $0,92^\circ\text{K}$  для массивного Mo). В пленках, приготовленных одновременным напылением Mo и  $\text{SiO}_2$ , также обнаружено повышение  $T_K$  до  $6,5^\circ\text{K}$ , причем зависимость  $T_K$  от концентрации  $\text{SiO}_2$  имеет вид кривой с максимумом. Отмечается, что Y (вместо  $\text{SiO}_2$ ) оказывает такое же действие [2]. В той же работе было предположено, что причиной изменения  $T_K$  является наблюдавшееся уменьшение размера зерна при увеличении содержания примеси.

Нами исследованы свойства пленочных образцов молибдена, легированного углеродом. Образцы приготавливались методом катодного распыления при давлении  $\sim 10^{-5}$  тор Kr [3 – 5]. Парциальное давление всех остаточных газов, кроме водорода, было не выше  $10^{-10}$  тор, а парциальное давление водорода составляло  $\sim 2 \cdot 10^{-9}$  тор.

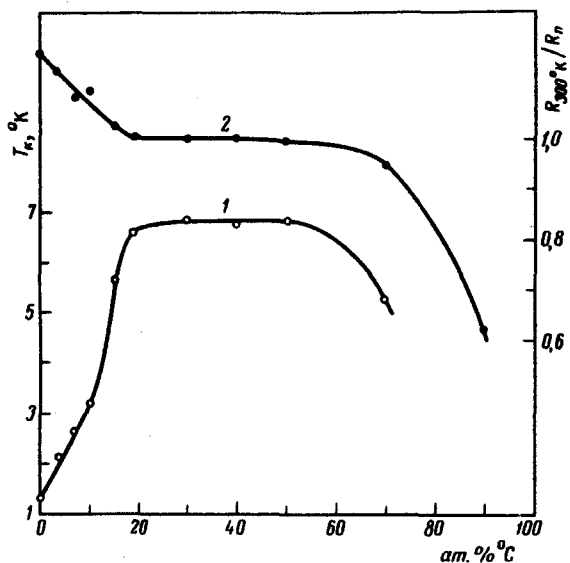
Пленки наносились на стеклянные подложки с платиновыми вводами. Подложки имели температуру жидкого азота.

Образцы приготавливались прослойным напылением чередующихся моноатомных слоев молибдена и соответствующей данной концентрации доли моноатомного слоя углерода. Скорость напыления молибдена составляла  $\sim 7 \text{ \AA/min}$ , углерода –  $\sim 2 \text{ \AA/min}$ .

Измерялось сопротивление образцов в зависимости от температуры.  $T_K$  определялась как температура, при которой  $R = Rn/2$ , где  $R$  – сопротивление образца в нормальном состоянии. Ширина перехода обычно составляла  $0,2 - 0,3^\circ\text{K}$ . Зависимость критической температуры образцов от концентрации углерода имеет вид кривой с пологим максимумом. На рисунке приведена такая кривая для пленок толщи-

ной  $\sim 60$  Å. Максимум  $T_K$  лежит в области концентраций 20÷50 ат.% С, при этом значение критической температуры доходит до  $6,9 \pm 0,1$ °К.

Такой же характер зависимости  $T_K$  от концентрации углерода наблюдался для образцов, приготовленных методом распыления мозаичных катодов. При этом распыление и конденсация Mo и C происходило одновременно, а состав образцов определялся геометрией катодов.



Зависимость критической температуры (кривая 1) и отношения сопротивлений  $R_{300\text{ }^{\circ}\text{K}}/R_n$  (кривая 2) образцов системы Mo - C от концентрации углерода

Полученные результаты мало зависят от толщины пленок для толщин свыше 50 Å. Подробно зависимость критической температуры от толщины исследовалась для концентрации 16 ат. % С. В этом случае для предотвращения окисления пленки покрывались углеродным слоем толщиной 20 Å. В области толщин пленок 50÷120 Å критическая температура слабо зависит от толщины. Резкое уменьшение  $T_K$  связанное, по-видимому, с термодинамическими флуктуациями, возникающими при переходе к двумерному случаю, начинается при толщинах, меньших 30 Å. Ниже все данные будут приводиться для пленок, толщиной 60 Å.

Сопротивление образцов возрастает с увеличением концентрации углерода. Отношение сопротивлений  $R_{300\text{ }^{\circ}\text{K}}/R_n$  (где  $R_{300\text{ }^{\circ}\text{K}}$  – сопротивление при комнатной температуре,  $R_n$  – сопротивление непосредственно после перехода в нормальное состояние) падает с повышением концентрации углерода от 1,2 для чистого молибдена до 0,95 для 70 ат. % С. Образец, содержащий 90 ат. % С не переходил в сверхпроводящее состояние вплоть до 1,5°К и для него  $R_{300\text{ }^{\circ}\text{K}}/R_{1,5\text{ }^{\circ}\text{K}} = 0,6$ .

Следует отметить, что образцам с  $R_{300\text{ }^{\circ}\text{K}}/R_n > 1$  соответствуют точки, лежащие слева от максимума кривой  $T_K$  (ат. % С), в то время как точкам справа от максимума соответствуют образцы с  $R_{300\text{ }^{\circ}\text{K}}/R_n < 1$ .

Электронномикроскопическое и электронографическое исследование образцов "на просвет" показало, что чистый Mo в условиях опыта кристаллизуется в виде поликристаллического материала, который имеет

зерно  $\sim 70 \text{ \AA}$  и дает четкую дифракционную картину, соответствующую дифракции массивного Mo. При легировании Mo углеродом по мере увеличения его содержания наблюдается постепенное расширение дифракционных максимумов и увеличение параметра решетки, что свидетельствует о возникновении внутренних напряжений в материале. На электронограммах не обнаружено никаких дополнительных дифракционных максимумов, что указывает на отсутствие карбидов. Образцы легированного Mo при содержании C до  $\sim 20$  ат.% имеют зерно, соответствующее чистому Mo. При увеличении содержания углерода выше  $\sim 30$  ат.% зерно уменьшается до  $\sim 10 \text{ \AA}$ . И электронномикроскопические и электронографические исследования показали, что структура образцов, приготовленных методом послойного напыления Mo и C, соответствует структуре образцов, приготовленных методом одновременной конденсации Mo и C.

Сравнение полученных нами результатов с результатами работы [2] показывает, что в этих экспериментах вид примеси, добавляемой к Mo, мало влияет на характер зависимости  $T_K$  от ее содержания. Принимая во внимание, кроме того, данные по  $T_K$  пленок, напыленных при температуре жидкого гелия [1], можно считать весьма вероятным заключение, что основной причиной повышения  $T_K$  в этих случаях являются искажения кристаллической решетки молибдена. При этом в нашем случае не обнаружено корреляции между изменением  $T_K$  и размером зерна в области концентраций углерода, где имеет место возрастание критической температуры.

Авторы благодарят Н.А.Черноплекова и Б.Н.Самойлова за интерес и внимание к работе и И.А.Кубарева за помощь в усовершенствовании установки для приготовления образцов.

Поступила в редакцию  
1 февраля 1972 г.

## Литература

- [1] J.E.Crow, M.Strongin, R.S.Thompson, O.F.Kammerer. Phys. Lett., 30A, 161, 1969.
- [2] J.J.Hanak, J.Gittleman J.Pellicane, S.Bozowsky. Phys. Lett., 30A, 201, 1969.
- [3] В.М.Голянов. Исследования объектов, изменяющихся в процессе препарирования и наблюдения в электронном микроскопе. Материалы симпозиума, май, 1964, изд. Наука. 1966, стр. 50, 81.
- [4] В.М.Голянов. Авт. свид. 179573. Бюллетень изобретений, 5, 1966.
- [5] В.М.Голянов, А.П.Демидов, М.Н.Михеева, А.А.Теплов, ЖЭТФ, 58, 528, 1970.